

پهنه‌بندی خشکسالی‌های اقلیمی با استفاده از روش میان‌یابی معکوس فاصله (IDW) ^۱(مطالعه موردی: حوضه دریاچه نمک)

طاهره انصافی مقدم^{*} و عمار رفیعی امام^۳

نویسنده مسئول، مریم پژوهشی بخش تحقیقات بیابان، مؤسسه تحقیقات جنگلها و مرتع کشور، پست الکترونیک: ensafi@rifr-ac.ir

کارشناس ارشد پژوهشی بخش تحقیقات بیابان، مؤسسه تحقیقات جنگلها و مرتع کشور

تاریخ پذیرش: ۰۴/۰۴/۸۸

تاریخ دریافت: ۲۶/۰۳/۸۷

چکیده

در این مطالعه منطقه حوضه دریاچه نمک با داشتن شرایط خاص اقلیمی از نظر بروز پدیده خشکسالی مورد بررسی قرار گرفته است. به منظور بررسی تعیین فراوانی، شدت و مدت وقوع پدیده خشکسالی بر منطقه مورد بررسی از روش SPI و به منظور پهنه‌بندی گسترده‌های تحت تأثیر خشکسالی، از روش میان‌یابی معکوس فاصله (IDW) استفاده شده است. در این مطالعه با استفاده از آمارهای ۴۴ ساله داده‌های بارش (۱۹۵۷-۲۰۰۰) در ۳۴ استگاه و با بکارگیری روش SPI، اقدام به محاسبه فراوانی، شدت و مدت خشکسالی در منطقه مورد بررسی شد و بعد با طبقه‌بندی میزان تداوم، شدت و مدت خشکسالی، تجزیه و تحلیل سالانه از خشکسالی‌ها به عمل آمد و درنهایت به منظور تجزیه و تحلیل شدت تغییرات مکانی شاخص SPI در طول دوره درازمدت، در محیط برنامه نرم افزاری Arc view با استفاده از روش میان‌یابی معکوس فاصله (IDW) اقدام به تهیه نقشه‌های پهنه‌بندی خشکسالی‌های اقلیمی از گستره مورد مطالعه شد. نتایج حاصل از ارزیابیها نشان‌دهنده تأثیر حساسیت خشکسالی‌های اقلیمی بر عرصه مورد مطالعه می‌باشد.

واژه‌های کلیدی: خشکسالی، پهنه‌بندی، شاخص SPI و روش میان‌یابی معکوس فاصله (IDW).

این پدیده مقاومت کند قحطی به وجود خواهد آمد (Karms Arma, 1990) کاهش میزان بارندگی و افزایش دما هریک به تنها ی و یا به کمک هم می‌توانند موجب خشکسالی شوند (Miller, 1991). بنا به اعلام دفتر هوای ایالات متحده خشکسالی آنگاه به وقوع می‌پیوندد که میزان بارندگی برای یک دوره ۲۱ روزه یا بیشتره میزان ۳۰ درصد میانگین نزول کند (Oliver s.owen, 1995). بررسی شاخص‌های تعیین خشکسالی می‌تواند در جهت پیش‌بینی خشکسالی به

مقدمه

خشکسالی پدیده‌ای است که هر چند سال یکبار و درنتیجه کاهش میزان بارندگی در نقاط مختلف جهان به وقوع می‌پیوندد و چنانچه کشاورزی پایدار نتواند در برابر

۱- این مقاله بخشی از نتایج طرح تحقیقاتی «بررسی و ارزیابی شاخص‌های اقلیمی و تعیین شاخص مناسب پیش‌بینی خشکسالی در حوضه دریاچه نمک» است که اجرای آن در مؤسسه تحقیقات جنگلها و مرتع کشور در سال ۱۳۸۵ به پایان رسیده و اصل گزارش آن با شماره ثبت ۴۵۱۶ و کد ۰۶-۰۳۱۰-۸۲-۴۱۷۰۰۰ موجود می‌باشد.

همکاران، وضعیت خشکسالی و روند آن در استان زنجان را بر اساس چهار شاخص آماری (درصد از بارش میانگین، انحراف از میانگین، کلاسه بندی بارش و شاخص توزیع استاندارد) ترسیم کردند. نتیجه بررسی نشان داد شاخص‌های فوق در حالت کلی با همدیگر همخوانی داشته و براساس میانگین‌های متحرک، روند خشکسالی در استان زنجان رو به افزایش بوده که به تدریج بر دوره تداوم و شدت آن افزوده می‌شود (حسنی‌ها، ۱۳۷۹). (قطره‌سامانی، ۱۳۷۹) با ترسیم نقشه توزیع خشکسالی استان چهارمحال بختیاری، نشان داد میزان شدت خشکسالی از شرق به غرب و از شمال به جنوب استان، کاهش می‌یابد. پرهمت و همکاران در بررسی روند خشکسالی‌ها و ترسالی‌ها در حوضه کارون، میزان جریان خروجی و بارندگی درازمدت حوضه را به منظور بررسی روند خشکسالی‌ها و ترسالی‌ها مد نظر قرار داده و طول دوره‌های خشکسالی و توالی تکرار آنها و نیز شدت خشکسالی با استفاده از روش میانگین متحرک را مورد بررسی قرار دادند (پرهمت، ۱۳۷۹). نیکپور در سمینار کارشناسی ارشد با بررسی‌های اجمالی از میانگین‌های متحرک ۵، ۷ و ۹ ساله به مطالعه خشکسالی در چند حوضه آبخیز استان مازندران پرداخت و غرب استان مازندران را دارای یک دوره خشکسالی ملایم و طولانی ولی مرکز و شرق استان را توأم با دوره‌های خشک شدید در چند سال اخیر دانست(نیکپور، ۱۳۸۰). (به نقل از خدری تاثران، ۲۰۰۳)

روش تحقیق

به منظور مطالعه و بررسی خشکسالی از شاخص تحلیل داده‌های بارندگی که در کشور ما به راحتی قابل

عنوان مهمترین راهکار مقابله و کاهش خسارات ناشی ضرورت داشته باشد. (Thorntwaite, 1947) معتقد است که خشکسالی را می‌توان از مقوله‌های مختلف مانند خشکسالی هیدرولوژیک، خشکسالی اقلیمی، خشکسالی کشاورزی و خشکسالی اقتصادی بررسی نمود و تنها کمبود بارش نمی‌تواند گویای خشکسالی یک منطقه باشد بلکه بارش مؤثر باید در نظر گرفته شود. سازمان یونسکو تأثیر جهت کوهها در افزایش و کاهش خشکسالی را بررسی کرده‌اند و مشخص شده که در مناطق مرتفع و مناطق با ارتفاع متوسط، اختلاف بارندگی بین شیوه‌های در جهت باد و شیوه‌های درخلاف جهت باد بسیار متفاوت است (وزارت جهاد کشاورزی، ۱۳۷۲)، و جهت دامنه‌ها روی تأخیر در ذوب برف ناشی از تفاوت حرارتی، رطوبت خاک و در نتیجه پوشش گیاهی و همچنین نوع فرسایش تأثیر می‌گذارد (سلاجمقه، ۱۳۷۳). (خلیقی سیگارودی، ۱۳۷۴)، (MIMKO, 1993)، (Dien, ۱۳۷۲)، (Liew & Garbrecht, 2001)، (Fasimpour, ۱۳۷۴) در غرب مازندران، بارندگی متوسط سالیانه را به عنوان عامل مؤثر در جریان حداقل به کار برده‌اند (وفاخواه، ۱۳۷۷). با آنالیز منطقه‌ای جریان حداقل برای تعیین خشکسالی حوضه دریاچه نمک، اقدام کرد. (وفاخواه، ۱۳۷۹). حجاری زاده و همکاران، مقاله‌ای با عنوان مدل پیش‌بینی خشکسالی در کرمان، برای بررسی خشکسالی در کرمان از داده‌های بارش کلیه ایستگاه‌های موجود استفاده کرده و ۴۰ درصد سالهای مورد مطالعه را درگیر پدیده خشکسالی و ۱۶۷ درصد موارد را دارای مازاد آب دانسته و بر طبق مدل‌سازی بارش و خشکسالی، روند خشکسالی در این استان را رو به افزایش محسوب کرده است (حجاری زاده، ۱۳۷۹). علی حسنی‌ها و

تحلیل میزان و تداوم خشکسالی‌های سالانه پرداخته شد. در آخرین مرحله با استفاده از روش میان‌یابی معکوس فاصله (IDW)، به پهنه‌بندی توزیع خشکسالی در سطح حوضه، مبادرت و مشخص شد که میزان شدت خشکسالی از شرق به غرب و از شمال به جنوب استان، کاهش می‌یابد و خشکسالی اقلیمی در غرب حوضه چندان مشهود نیست. در اجرای این تحقیق به منظور بررسی دقیق و کمی‌سازی شدت خشکسالی و برای تعیین تاریخ شروع، خاتمه و طول مدت یا تداوم خشکسالی از لوح فشرده تخصصی، آموزشی (DIP) Drought Indices package استفاده شده است. «برای تحلیل خشکسالی فقط باقیماندهای منفی مورد توجه قرار می‌گیرد، و از باقیماندهای مثبت می‌توان برای تحلیل‌های ترسالی استفاده کرد» (طایی سميرمی و همکاران، ۱۳۸۷).

موقعیت جغرافیایی و وضعیت آب و هوایی منطقه مورد مطالعه

حوضه آبخیز دریاچه‌نمک بین مختصات جغرافیایی 48° تا 30° و 52° طول شرقی و 37° تا 23° عرض شمالی واقع شده و استانهای تهران، مرکزی، قم، قزوین، زنجان، همدان و بخش‌های بسیار کوچکی از استان‌های مازندران و اصفهان را پوشش داده است. از مهمترین شهرهای این حوضه آبخیز می‌توان تهران، کرج، ورامین، قزوین، تاکستان، خرمدره، همدان، درگزین، ساوه، قم، تفرش، آشتیان، کاشان، اراک، شمس‌آباد، گلپایگان و خوانسار را نام برد. حوضه آبخیز دریاچه‌نمک، از شمال به دامنه‌های کوهستان البرز، از جنوب و غرب به دامنه‌های کوهستان زاگرس و از شرق به کویر کاشان و دریاچه‌نمک محدود می‌شود. نقشه هم‌بارش حوضه آبخیز دریاچه‌نمک (شکل ۱) تغییر نسبتاً مشخص بارش در

دسترس می‌باشد استفاده می‌شود. (خدیری تاژان، ۲۰۰۳) در این مطالعه از داده‌های بارش ماهانه و سالانه ۳۴ ایستگاه هواشناسی به مدت ۴۴ سال (۱۹۵۷-۲۰۰۰)، استفاده شد و برای تفکیک دوره‌های خشک از مرطوب در مقاطع زمانی (ماهانه، سالانه) با بکارگیری از نرم افزار^۱ DIP (Drought Indices package) بر روی داده‌های بارش، فراوانی دوره‌های خشک و تر، بزرگی، تداوم و شدت آنها از طریق شاخص‌های متعدد محاسبه شد. در مرحله اول این تحقیق به منظور ارزیابی بهتر تغییرات مکانی بارش در انتخاب ایستگاه‌ها علاوه بر کمیت و کیفیت داده‌ها، طول و عرض جغرافیایی و ارتفاع از سطح دریا، و همچنین پایه زمانی ۴۴ ساله (از ۱۹۵۷ تا ۲۰۰۰) به عنوان پایه آماری مشترک در بررسی تغییرات زمانی بارش مورد توجه قرار گرفت. سپس صحّت و همگنی داده‌های مورد بررسی و داده‌های ناقص هر ایستگاه با استفاده از داده‌های ایستگاه‌های مجاور از طریق روش همبستگی و روش نسبت نرمال (مهدوی، ۱۳۸۵) مورد بازسازی قرار گرفت. در مرحله دوم با استفاده از روش میانگین متحرک، روند دوره‌های خشک و مرطوب به وسیله آمار درازمدت بارش و دوره‌های تداوم و شدت خشکسالی با استفاده از شاخص‌های متعدد خشکسالی اندازه‌گیری شد. در مرحله بعدی با استفاده از شاخص SPI (SPI) اقدام به تحلیل و طبقه‌بندی شدت و مدت خشکسالی‌ها شد و بعد از تعیین مقادیر SPI ماهانه و سالانه و طبقه‌بندی شدت خشکسالی، به پایش و تجزیه و

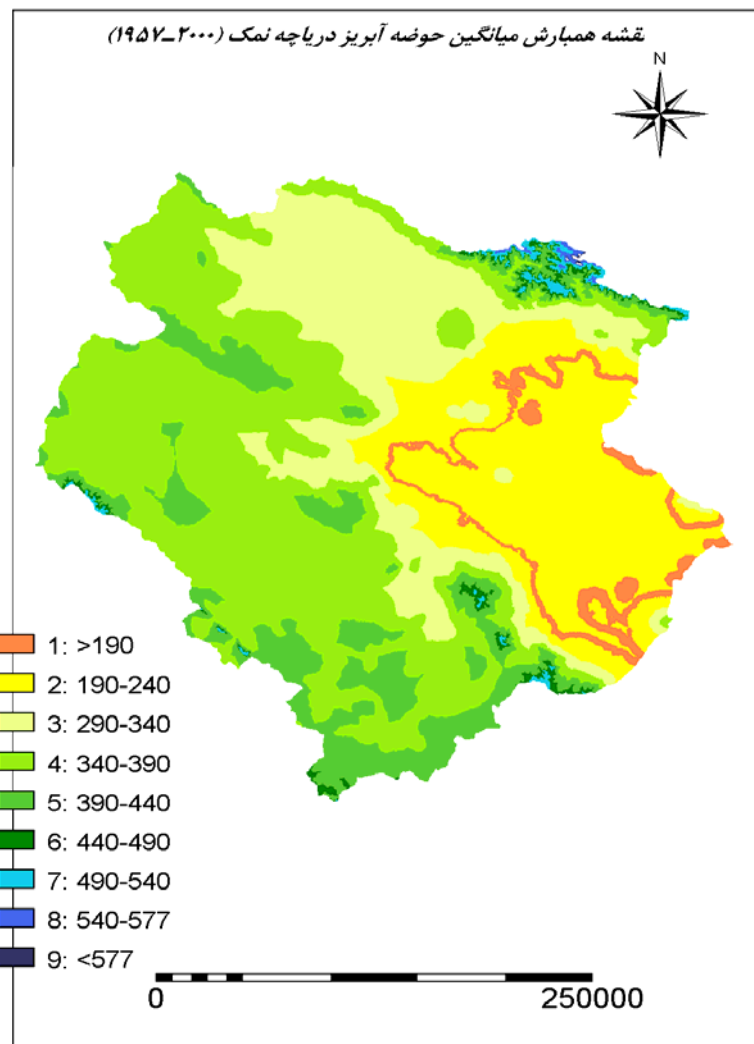
Drought Indices Package

-

.

(ایستگاه‌های کاشان، گرمسار، اردستان) و در بخش‌های جنوبی حوضه مقدار بارش مجدداً به ۲۰۰ تا ۳۰۰ میلی‌متر افزایش می‌یابد. (ایستگاه‌های خوانسار، گلپایگان، دامنه فریدن). بدین ترتیب در این حوضه، توزیع مکانی بارندگی آن از غرب به شرق با کاهش همراه است در حالیکه توزیع زمانی آن وضعیتی تقریباً منظم دارد. حداقل بارش در بهار و حداقل آن در تابستان اتفاق می‌افتد) (انصافی مقدم، ۱۳۸۱).

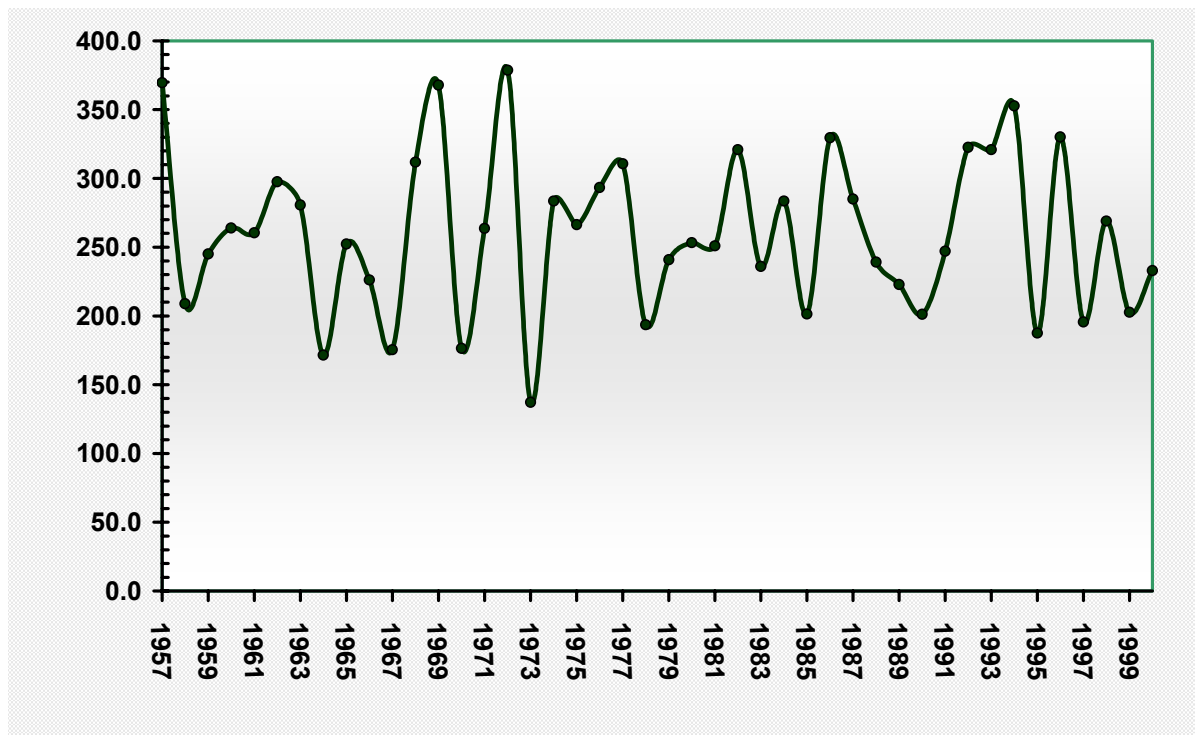
بخش‌های مختلف حوضه مخصوصاً نواحی دشتی و ارتفاعات را طی دوره آماری ۴۴ ساله نشان می‌دهد. در ارتفاعات شمالی و غربی حوضه (ایستگاه‌های قزوین، خرمدره، همدان نوژه، فرودگاه همدان، بروجرد و ملایر) مقدار بارش از ۳۰۰ میلی‌متر در سال تجاوز می‌کند. با حرکت از سمت غرب به شرق از مقدار بارش به شدت کاسته شده و در دشت و مناطق نزدیک به دریاچه نمک، میزان آن به مقدار ۱۰۰ میلی‌متر یا کمتر از آن تقلیل می‌یابد.



شکل ۱- نقشه همبارش میانگین حوضه دریاچه نمک (۱۹۵۷-۲۰۰۰)

دریاچه‌نمک، سری زمانی میانگین بارش کل ایستگاه‌های حوضه و میانگین متحرک پنج و هفت ساله در طی دوره محاسبه و نمودارهای مربوط به هر ایستگاه به طور جداگانه ترسیم شده است. سری زمانی میانگین بارش کل ایستگاه‌های حوضه دریاچه‌نمک در شکل ۲، در طول دوره درازمدت نشان داد که بیشترین تغییرات زمانی در طی دوره در سال ۱۹۷۳ رخ داده است.

الگوی زمانی تغییرات خشکسالی در طول دوره درازمدت در طی دوره و در منطقه مورد بررسی به اعتقاد آپایدین و همکاران، (۲۰۰۶)، داده‌های بارندگی ماهانه، کل بارندگی سالانه و میانگین بارندگی سالانه می‌توانند جهت استخراج اطلاعاتی از میزان تغییرپذیری باران و نیز تعیین اقلیم بکار روند (به نقل از کلارستاقی، ع. و همکاران، ۱۳۸۷). به منظور لزوم اطلاع از وضعیت دوره‌های خشک و مرطوب در حوضه آبخیز



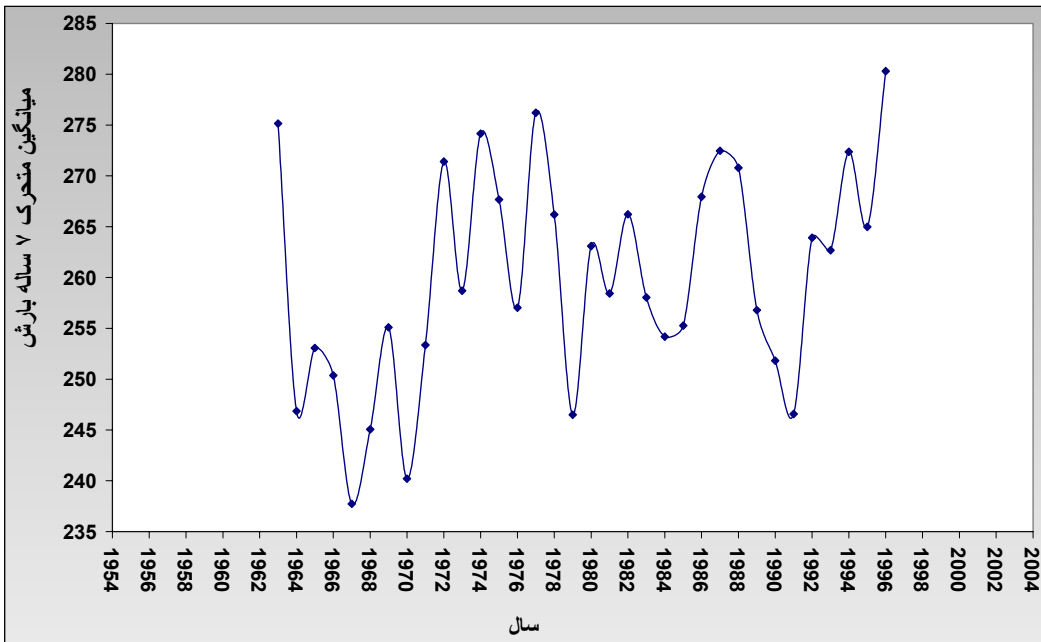
شکل ۲- سری زمانی میانگین بارش کل ایستگاه‌های حوضه دریاچه‌نمک در طول دوره مورد بررسی (۱۹۵۷-۲۰۰۰)

ساده‌کردن و نمایش بهتر تغییرات مشاهده شده از روند واقعی بارش در دوره طولانی مدت، نمودار میانگین متحرک ۵ و ۷ ساله بارش ترسیم شد (شکل ۳ و ۴). در شکل ۳ میانگین متحرک ۷ ساله تغییرات زمانی در دوره زمانی ۴۴ ساله، دارای روند صعودی بوده است. در شکل ۴ خط میانگین کل دوره با رقم میانگین (۵/۲۶۰ میلی‌متر) در محور عرضی

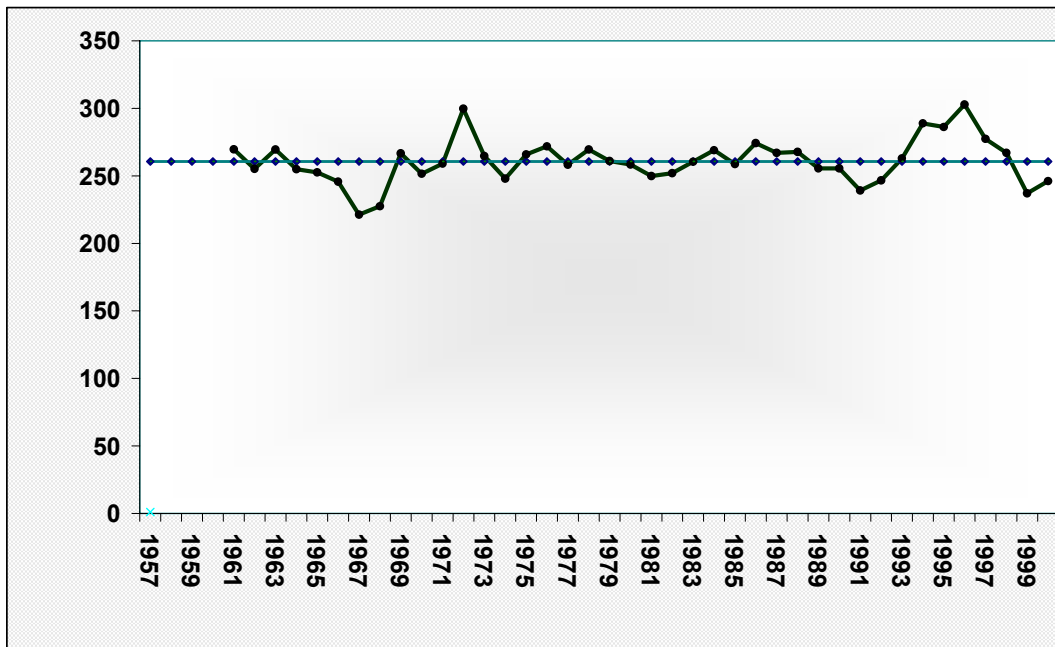
مطابق شکل ۲، رخداد مرطوب‌ترین و خشک‌ترین سال‌ها طی دوره آماری (۱۹۵۷-۲۰۰۰) به ترتیب در سال ۱۹۷۲ و ۱۹۷۳ به‌وقوع پیوسته است. خشک‌ترین سال، یعنی سال ۱۹۷۳ با بارش ۱۳۷/۲ میلی‌متر و مرطوب‌ترین سال یعنی سال ۱۹۷۲ با بارش ۳۷۸/۷ میلی‌متر از میانگین کل دوره یعنی ۵/۲۶۰ میلی‌متر پراکندگی زیادی داشته است. به منظور

بزرگ در اواسط و انتهای روند، در منطقه موردمطالعه رخداده است. اولین دوره خشکسالی مربوط به اواسط روند، بزرگتر و مشهودتر می‌باشد.

نمودار، به شکل خط نقطه‌چین رسم شده تا مقایسه مقادیر میانگین متحرک با میانگین کل دوره به راحتی امکان‌پذیر باشد. در هر دو نمودار ۳ و ۴ مشاهده می‌شود که ابتدا و انتهای روند در ترسالی قراردارد، اما دو دوره خشکسالی



شکل ۳- میانگین متحرک ۷ ساله بارش در ایستگاه‌های حوضه دریاچه‌نمک در کل دوره (۱۹۵۷-۲۰۰۰)



شکل ۴- ترسیم خط میانگین بارش کل دوره بر روی میانگین متحرک ۵ ساله بارش در ایستگاه‌های حوضه دریاچه‌نمک (۱۹۵۷-۲۰۰۰)

خشکسالی، که اغلب ۷۵ درصد بارش متوسط در طول یک دوره زمانی مشخص بوده، معمولاً بیشتر به صورت قراردادی انتخاب می‌شود تا براساس رابطه دقیق تأثیرات خاص آن بر محیط (طرح جامع امداد و نجات کشور، ۱۳۸۲). در این تحقیق برای تعیین حد آستانه به عنوان شروع یک خشکسالی، از اصلاحات انجام شده لشنی زند بر روی طبقه‌بندی SPI از دیدگاه MACKEE استفاده شده است.

ارزیابی شاخص و تعیین آستانه وقوع خشکسالی بر اساس شاخص SPI

براساس تعریف ارائه شده برای وقوع خشکسالی در ایالات متحده آمریکا، بارش کمتر از ۲/۵ میلی‌متر در ۴۸ ساعت، و یا بارش کمتر از ۷۵٪ متوسط بلندمدت، حد آستانه وقوع خشکسالی تعیین شده است» (Holechek, et al., 1990) به نقل از بدربی پور، ۱۳۸۲). بدین ترتیب حد آستانه تعیین شده به عنوان شروع یک

جدول ۱ - درجه‌بندی شدت و احتمال وقوع شاخص SPI (MACKEE et al., 1993، به نقل از لشنی زند، ۱۳۸۳)

SPI	حدود	توصیف رخداد
بزرگتر از یا مساوی با ۲		فرا مرطوب
۱/۹۹ تا ۱/۵		بسیار مرطوب
۱ تا ۱/۴۹		نسبتاً مرطوب
۰ تا ۰/۹۹		تقریباً نرمال
۰/۹۹ تا ۰		تقریباً نرمال
۰ تا ۱/۴۹		نسبتاً خشک
۱/۹۹ تا ۱/۵		بسیار خشک
کوچکتر یا مساوی ۲		فراخشک

استفاده در ایران انجام شده که نتایج آن به صورت جدول ۲ ارائه می‌شود» (لشنی زند، ۱۳۸۳).

اصلاحاتی در طبقه‌بندی MACKEE از نظر درجه‌بندی شدت و احتمال وقوع شاخص SPI جهت

جدول ۲ - مقیاس طبقه‌بندی برای مقادیر SPI (با اقتباس از لشنی زند، ۱۳۸۳)

SPI	مقادیر	طبقه
بزرگتر از یا مساوی با ۲		بسیار بسیار مرطوب
۱/۹۹ تا ۱/۵		بسیار مرطوب
۱ تا ۱/۴۹		مرطوب متوسط
۰/۹۹ تا ۰/۵		مرطوب ملایم
۰/۴۹ تا ۰/۰		تقریباً نرمال
۰/۹۹ تا ۰/۰		خشک ملایم
۰ تا ۱/۴۹		خشک متوسط
۱/۹۹ تا ۱/۵		بسیار خشک
کوچکتر یا مساوی ۲		بسیار بسیار خشک

پایش خشکسالی‌ها از نظر شدت، مدت و فراوانی وقوع در ایستگاه‌های مورد مطالعه

در جدول ۳، ویژگیهای خشکسالی‌های ایستگاه‌های حوضه دریاچه‌نمک، به همراه سال وقوع آن، طولانی‌ترین تداوم از نظر طول دوره خشکسالی و شدیدترین تداوم از نظر بزرگی مقادیر SPI و فراوانی وقوع خشکسالی ایستگاه‌ها را نشان می‌دهد. مطابق جدول یاد شده شدیدترین مقدار مشاهده شده به ایستگاه همدان (نوژه)، بالاترین رقم فراوانی نسبی وقوع خشکسالی، به ایستگاه‌های آوج، دوشان‌تپه و کاشان و پایین‌ترین رقم فراوانی نسبی وقوع خشکسالیها، به ایستگاه گلپایگان تعلق دارد.

براساس اصلاحات انجام شده لشنج زند بر روی طبقه‌بندی SPI از دیدگاه MACKEE، محدوده نرمال از (۰/۹۹ تا ۰/۹۹) به (۰/۴۹ تا ۰/۴۹) تغییر داده شده و دامنه (۰/۵ تا ۰/۹۹) نیز به طبقات خشکسالی افزوده شده است. از اصلاحات انجام شده لشنج زند بر روی طبقه‌بندی SPI، بدین لحاظ استفاده شده است که محدوده مورد مطالعه در این تحقیق به لحاظ موقعیت جغرافیایی به محدوده غرب و شمال غرب کشور (منطقه مورد مطالعه لشنج زند) نزدیک است. براساس جدول ۲ SPI(۰/۵) به عنوان آستانه وقوع خشکسالی تعیین گردیده است.

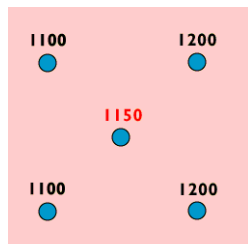
جدول ۳- جدول تعیین شدت، مدت و فراوانی خشکسالی به وسیله شاخص SPI (۱۹۵۷-۲۰۰۰)

نشانگان	مشاهده شده	شدیدترین مقدار	تداوم	آماری طولانی ترین تداوم در طی دوره	تداوم	مشاهده شده	فراوانی
امین آباد	-۱/۶۷	۱۹۹۷	۱۹۹۷	(۹۸-۹۷-۹۶-۹۵)	۴	۱۹۹۷	۱۴
اراک	-۲/۴۵	۱۹۷۳	۱۹۹۹	(۹۹-۹۸-۹۷)	۳	۱۹۷۳	۱۴
اردستان	-۲/۶۸	۱۹۷۳	۱۹۷۰	(۶۴-۶۳-۶۲-۶۱-۶۰)	۵	۱۹۷۳	۱۴
آوج	-۲/۱	۱۹۷۳	۱۹۸۰	(۸۲-۸۱-۸۰-۷۹-۷۸)	۵	۱۹۷۳	۱۷
بروجرد	-۳/۰۱	۱۹۷۳	۱۹۶۶	(۶۷-۶۶)(۸۵-۸۴)	۲	۱۹۷۳	۱۱
دامنه فریدن	-۳/۰۶	۱۹۶۷	۱۹۷۰	(۷۱-۷۰)(۲۰۰۰-۹۹)	۲	۱۹۶۷	۱۳
درگزین	-۳/۰۳	۱۹۶۴	۱۹۶۴	(۶۷-۶۶-۶۵-۶۴)	۴	۱۹۶۴	۱۵
دودهک	-۲/۱۹	۱۹۷۰	۱۹۶۷	(۶۸-۶۷-۶۶-۶۵-۶۴)	۵	۱۹۷۰	۱۳
دوشان تپه	-۱/۸۲	۱۹۹۵	۱۹۶۵	(۶۷-۶۶-۶۵-۶۴)	۴	۱۹۹۵	۱۷
دوزج	-۲/۵۸	۱۹۷۸	۱۹۷۸	(۸۱-۸۰-۷۹-۷۸)	۴	۱۹۷۸	۱۳
اصفهان	-۲/۰۶	۱۹۶۰	۱۹۶۵	(۶۷-۶۶-۶۵-۶۴-۶۳)	۵	۱۹۶۰	۱۴
گرگان آشتیان	-۳/۱	۱۹۷۳	۱۹۷۳	(۷۵-۷۴-۷۳)	۳	۱۹۷۳	۱۴
گرمسار	-۲/۸۱	۱۹۷۳	۱۹۶۷	(۶۸-۶۷-۶۶)	۳	۱۹۷۳	۱۲

ادامه جدول ۳- جدول تعیین شدت، مدت و فراوانی خشکسالی به وسیله شاخص SPI (۱۹۵۷-۲۰۰۰)

فرارانی	تداوم	طولانی ترین تداوم در طی دوره آماری	شدیدترین مقدار مشاهده شده	آتشگاه	
۲۹/۵	۱۳	۱۹۶۰	(۶۱-۶۰-۵۹)	۳ ۱۹۶۴ -۲/۰۳	قرزوین
۳۱/۸	۱۴	۱۹۷۹	(۸۰-۷۹-۷۸)	۳ ۱۹۷۹ -۲/۹	قم
۱۸/۱	۸	۱۹۷۳	(۷۴-۷۳)	۲ ۱۹۷۳ -۱/۶۱	گلپایگان
۲۷/۲	۱۲	۱۹۶۴	(۶۵-۶۴)	۲ ۱۹۷۰ -۲/۷۱	فروودگاه همدان
۲۷/۲	۱۲	۱۹۶۴	(۶۵-۶۴)	۲ ۱۹۶۴ -۳/۲۵	همدان (نوزه)
۳۴	۱۵	۱۹۸۸	(۹۰-۸۹-۸۸)	۳ ۱۹۸۸ -۳/۱۲	همند آبرسد
۲۷/۲	۱۲	۱۹۶۱	(۶۱-۶۰)	۲ ۱۹۶۱ -۲/۸۳	کرج (دانشکده)
۳۱/۸	۱۴	۱۹۶۷	(۶۷-۶۶)	۲ ۱۹۶۷ -۲/۹۱	کرج (سینوپتیک)
۳۸/۶	۱۷	۱۹۸۸	(۹۱-۹۰-۸۹-۸۸-۸۷)	۵ ۱۹۷۳ -۲/۵۱	کاشان
۲۷/۲	۱۲	۱۹۷۳	(۷۴-۷۳)	۲ ۱۹۸۵ -۲/۰۷	خوانسار
۲۷/۲	۱۲	۱۹۹۹	(۹۹-۲۰۰۰)	۲ ۱۹۷۶ -۲/۹۸	خنداب
۲۷/۲	۱۲	۱۹۸۹	(۹۰-۸۹-۸۸)	۳ ۱۹۷۰ -۲/۹۹	خرمدره
۳۶/۳	۱۶	۱۹۶۷	(۶۷-۶۶-۶۵-۶۴)	۴ ۱۹۷۳ -۲/۵۳	ملایر
۲۷/۲	۱۲	۱۹۶۶	(۶۷-۶۶)	۲ ۱۹۶۶ -۲/۲۸	نظرن
۳۱/۸	۱۴	۱۹۶۶	(۶۷-۶۶)	۲ ۱۹۷۳ -۲/۲۱	ساوه
۳۴	۱۵	۱۹۷۳	(۷۴-۷۳)	۲ ۱۹۸۳ -۲/۸۶	شمس آباد
۳۱/۸	۱۴	۱۹۸۱	(۸۱-۸۰-۷۹-۷۸)	۴ ۱۹۹۹ -۲/۴۲	تفرش
۳۴	۱۵	۱۹۹۷	(۲۰۰۰-۹۹-۹۸-۹۷)	۴ ۱۹۶۷ -۲/۳۵	تاکستان
۳۶/۳	۱۶	۱۹۶۱	(۶۱-۶۰-۵۹-۵۸)	۴ ۱۹۷۷ -۲/۱	تهران
۳۴	۱۵	۱۹۸۵	(۸۶-۸۵)	۲ ۱۹۷۳ -۲/۹۸	ورامین
شدیدترین مقدار مشاهده شده در طول دوره					
۳۸/۶	۱۷	۱۹۷۳ و ۱۹۶۷	۵ ۱۹۶۴ -۳/۲۵		

مرکزی و نقاط همسایه ۱/۴۱ باشد، نقطه مرکزی مقدار ۱۱۵۰ برآورده می‌گردد.



شکل ۵- ارزش‌گذاری نقاط یا پیکسلهای موجود در روش (IDW)

نحوه اجرای روش معکوس فاصله برای میان‌یابی مقادیر بارش در منطقه مورد مطالعه

برای اجرای روش معکوس فاصله با ایجاد فایل داده‌های بارش در محیط Excel و ذخیره فایل در فرمت DBF3 داده‌های ورودی لازم در محیط GIS تهیه گردید. با فراخوانی فایل بارش (ایجاد شده به کمک نرمافزار Arc view) در نرم افزار Arc view لایه نقطه‌ای مربوط به ایستگاه‌های بارش ایجاد گردید. در این مرحله می‌توان با اضافه کردن فایل اطلاعات بارش در محیط Arc Map لایه ایستگاه‌های هواشناسی را ایجاد کرد (کریمی و همکاران، ۱۳۸۷) و با اجرای روش میان‌یابی معکوس فاصله و با توجه به داده‌های موجود توزیع مکانی معنی‌داری برای تهیه نقشه درون‌یابی بدست آورده. سپس محدوده نهایی تعیین شده مرز حوضه دریاچه‌نمک بر نقشه‌های بدست آمده منطبق شد و با تعریف طبقات شاخص SPI نقشه‌های پهنه‌بندی خشکسالی تهیه شد.

نتایج

روش میان‌یابی معکوس فاصله (IDW: inverse distance weighted)

روشهای مختلفی برای برآورده متغیرهایی که تغییرات زمانی و مکانی دارند، وجود دارد. تفاوت این روشها مربوط به نحوه محاسبه وزنی است که به نقاط مشاهده شده اطراف نقطه مجھول داده می‌شود. (خلیقی سیگارودی و همکاران، ۱۳۸۷). IDW که مخفف عبارت Inverse Distance Weighted می‌باشد مبین روش میان‌یابی است که بر اصل فاصله معکوس استوار است. «در این روش فرض بر این است که نقاط نمونه‌ای از مکان تأثیر می‌پذیرند. در واقع نقاط نمونه‌ای اثر وزنی دارند. به بیان دیگر پیکسل‌های نزدیک به نقاط نمونه اثر بیشتری نسبت به پیکسل‌های دورتر از این نقاط می‌گیرند. پس این روش در شرایطی مناسب است که با افزایش فاصله از نقاط نمونه، وزن سلول‌ها کاهش یابد» (وبلاگ مهندسی آبخیزداری). در این روش فاصله هر نقطه یا پیکسل با پیکسل مجاور سنجیده شده و سپس بر حسب مقدار فاصله به آن سلول، ارزش یا ضریب وزن داده می‌شود و درنهایت ارزش سلول مرکزی ماتریس با جمع ارزش‌های نقاط همسایه و میانگین وزنی آنها بدست می‌آید. الگوریتم این روش به صورت زیر

$$x = \sum_{i=1}^n (Z_i / D_i) / \sum_{i=1}^n (1 / D_i)$$

x ارزش برآورده شده از روش درون‌یابی

Z_i ارزش نقاط موجود (نقاط یا پیکسل‌های همسایه)

D_i فاصله بین X و هر نقطه موجود

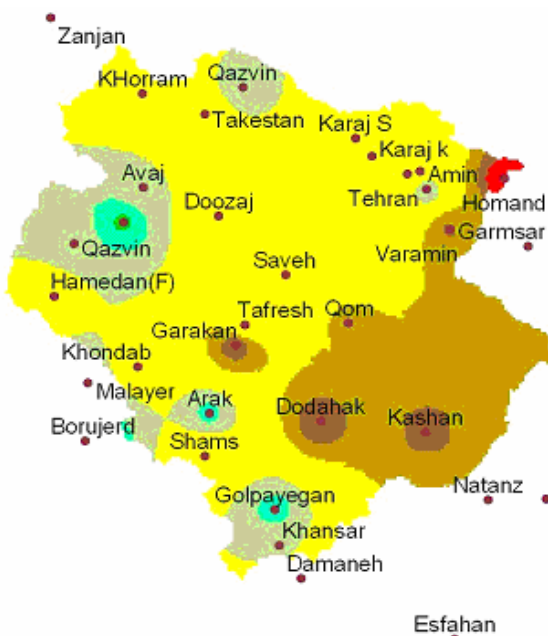
به عنوان مثال اگر نقاط همسایه دارای ارزش‌هایی همانند شکل ۵ باشند (Z_i)، مقدار ارزش نقطه برآورده شده یا پیکسل مرکزی (x) بوده و اگر فاصله (D_i) بین نقطه

رنگ‌های متفاوت از سبز تیره به سبز روشن و از زرد به سمت قهوه‌ای تیره و قرمز و درنهایت زرشکی به ترتیب بر طبقات بسیار بسیار مرطوب، بسیار مرطوب، مرطوب متوسط، مرطوب ملایم، تقریباً نرمال، خشک ملایم، خشک متوسط، بسیار خشک و بسیار بسیار خشک، دلالت دارد.

پهنه‌بندی گسترده خشکسالی‌های مشاهده شده در حوضه

دریاچه‌نمک در سالهای مختلف دوره (۱۹۵۷-۲۰۰۰)

اشکال (۶ تا ۱۵) نمونه‌هایی از نقشه‌های سالانه پهنه‌بندی خشکسالی‌ها را در حوضه دریاچه‌نمک در طول دوره چهل و چهار ساله نمایش می‌دهد. شایان ذکر است طیف‌های



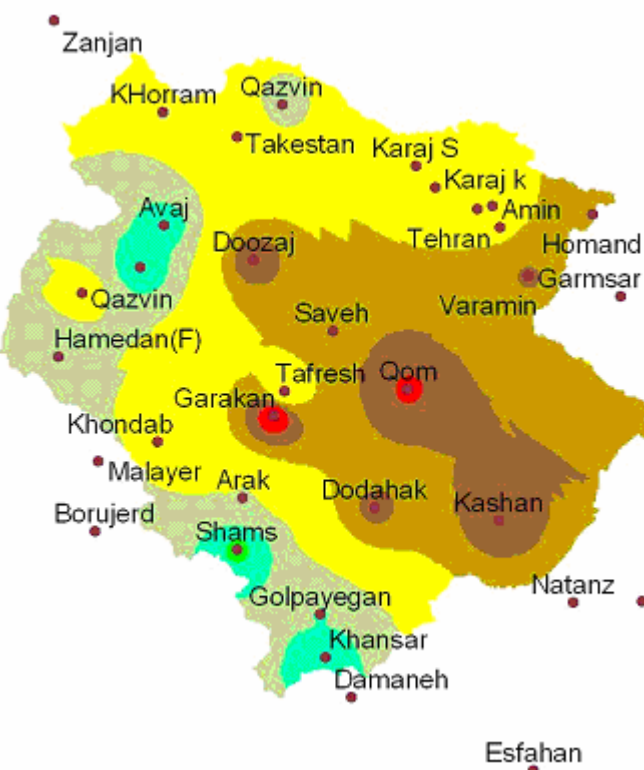
شکل ۶- نقشه پهنه‌بندی خشکسالی براساس شاخص SPI در سال ۱۹۵۷



شکل ۷- نقشه پهنه‌بندی خشکسالی براساس شاخص SPI در سال ۱۹۵۸



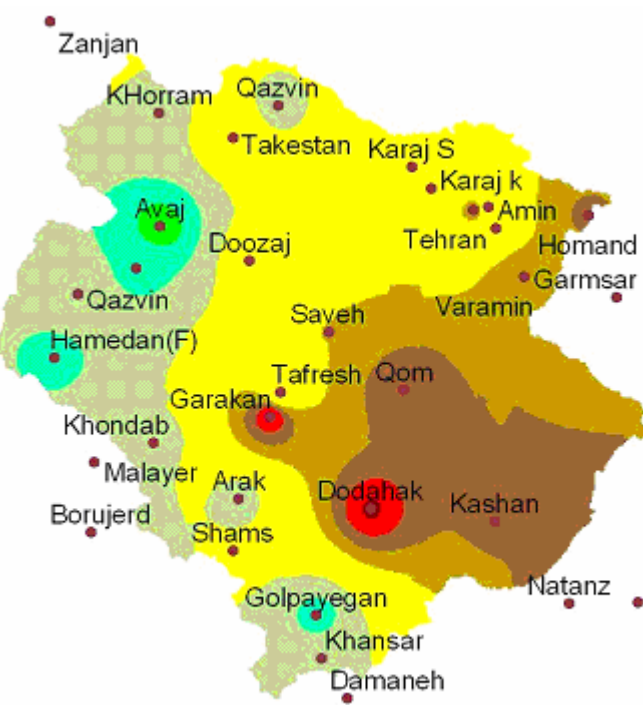
شکل ۸- نقشه پهنه‌بندی خشکسالی براساس شاخص SPI در سال ۱۹۵۹



شکل ۹- نقشه پهنه‌بندی خشکسالی براساس شاخص SPI در سال ۱۹۶۰



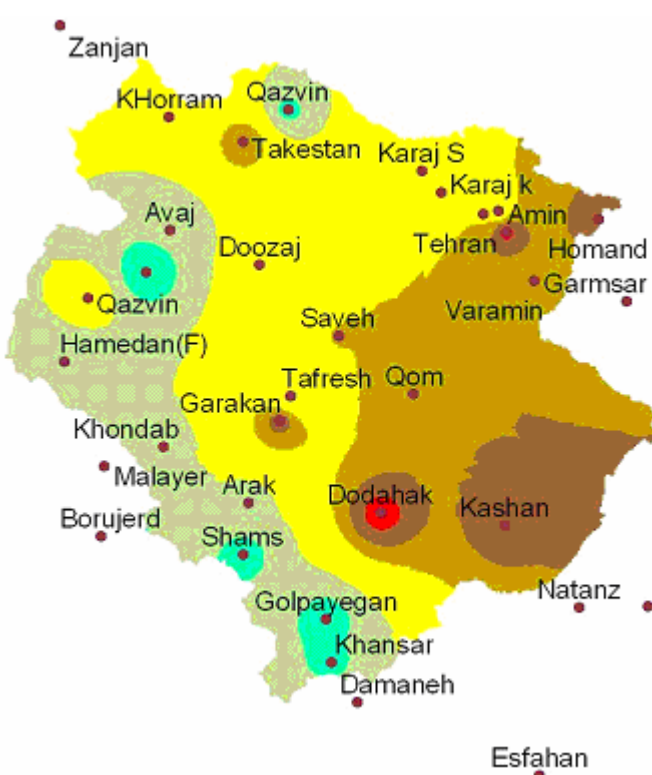
شکل ۱۰- نقشه پهنه‌بندی خشکسالی براساس شاخص SPI در سال ۱۹۶۶



شکل ۱۱- نقشه پهنه‌بندی خشکسالی براساس شاخص SPI در سال ۱۹۸۹



شکل ۱۲- نقشه پهنه‌بندی خشکسالی براساس شاخص SPI در سال ۱۹۹۳



شکل ۱۳- نقشه پهنه‌بندی خشکسالی براساس شاخص SPI در سال ۱۹۹۸



شکل ۱۴- نقشه پهنه‌بندی خشکسالی براساس شاخص SPI در سال ۱۹۹۹



شکل ۱۵- نقشه پهنه‌بندی خشکسالی براساس شاخص SPI در سال ۲۰۰۰

بحث

گفت در ارتفاعات شمالی و غربی حوضه، مقدار بارش از ۳۰۰ میلی‌متر در سال تجاوز کرده و با حرکت از سمت غرب به شرق از مقدار بارش کاسته شده و در دشت و مناطق نزدیک به دریاچه نمک، میزان آن به مقدار ۱۰۰ میلی‌متر یا کمتر از آن، تقلیل و در نقاط‌های جنوبی حوضه مقدار بارش مجدداً به ۲۰۰ تا ۳۰۰ میلی‌متر افزایش یافته است. بدین‌ترتیب در مناطق شرقی حوضه مورد مطالعه با وجود ارتفاع کمتر، وجود خشکسالی قابل مشاهده بوده و نقاط غربی حوضه به تناسب افزایش ارتفاع با عدم وجود خشکسالی مواجه می‌باشد.

همان‌طور که انتظار می‌رفت، از جنبه بررسی شاخص سالیانه بارش در مرطوب‌ترین سال، شاخص در نقاط جنوبی و جنوب‌غربی حوضه، دارای بیشترین مقدار عددی است که نشانگر عدم وجود خشکسالی در این مناطق می‌باشد. درنهایت با بررسی شاخص ناهنجاری بارش در خشک‌ترین سال، مشاهده شد که مقدار این شاخص در قسمتهای مرکزی و شرقی مقادیر منفی‌تری دارد و با فاصله گرفتن از مرکز به حواشی جنوب، غرب و شمال حوضه، شاخص SPI مقادیر کمتری از ناهنجاری را نشان می‌دهد.

در این مطالعه، طول دوره‌های خشکسالی و توالی تکرار آنها و نیز شدت خشکسالی با بکارگیری نرم افزار DIP روی داده‌های بارش، مورد محاسبه قرار گرفت. جدول ویژگی خشکسالی‌ها از نظر شدت، مدت و فراوانی وقوع ایستگاه‌ها نشان داد رخداد خشکسالی اقلیمی در جنوب و غرب حوضه بجز یک مورد استثناء که مربوط به شدیدترین مقدار مشاهده شده در ایستگاه همدان (نوژه) می‌باشد چندان مشهود نبوده و غرب، جنوب و شمال حوضه از جنبه شدت و تداوم خشکسالی از مطلوبیت بیشتری برخوردار است و روند آن در بعضی سالها، خشکسالی معمولی را نشان می‌دهد.

از آنجایی که در میان عناصر اقلیمی، بارش بیشترین نوسان را دارد، مشاهده خشکسالی و ترسالی‌ها با شدت‌های مختلف براساس داده‌های بارش در مطالعات اقلیمی امری طبیعی و تقریباً متداول می‌باشد.

در این تحقیق با هدف برآوردن تعییرات زمانی و مکانی خشکسالی‌ها ابتدا روند خشکسالی و ترسالی‌ها با استفاده از روش میانگین متحرک مورد ارزیابی و در مقایسه با میانگین‌های متحرک ۵، ۷ و ۱۰ ساله مدنظر قرار گرفت. سپس با استفاده از شاخص بارش استانداردشده (SPI) اقدام به تحلیل و طبقه‌بندی شدت و مدت خشکسالی‌ها کرده و بعد از تعیین مقادیر SPI ماهانه و سالانه و طبقه‌بندی شدت خشکسالی، و بکارگیری روش معکوس فاصله (IDW) برای میان‌یابی مقادیر بارش، اقدام به تهیه نقشه پهنه‌بندی خشکسالی‌های اقلیمی از گستره مورد مطالعه شد. سپس به تجزیه و تحلیل میزان و تداوم خشکسالی‌های سالانه پرداخته شد. برای تحلیل خشکسالی فقط باقیمانده‌های منفی مورد توجه قرار گرفته و از باقیمانده‌های مثبت برای تحلیل‌های ترسالی استفاده می‌شود. زمان توالی مقادیر پیوسته، تداوم یک دوره‌ی خشکسالی را تعیین می‌کند. مجموع انحرافات منفی، سختی خشکسالی یا شدت خشکسالی را اندازه‌گیری می‌کند. در آخرین مرحله با پهنه‌بندی توزیع خشکسالی حوضه، مشخص شد که میزان شدت خشکسالی از شرق به غرب و از شمال به جنوب حوضه مورد مطالعه، کاهش می‌یابد در حالی که این پدیده در غرب حوضه چندان مشهود نیست. چراکه شاخص خشکسالی رابطه مستقیم با ارتفاع دارد، بدین‌گونه که با افزایش ارتفاع، ارقام شاخص افزایش یافته و با کاهش ارتفاع، ارقام شاخص کاهش چشم‌گیری می‌یابد. بدین صورت با اشاره مجدد به توضیحات شکل ۱، می‌توان

مدرس و دست‌اندرکاران محترم دفتر مطالعات منابع آب دانشگاه تربیت مدرس برای تهیه و توزیع رایگان لوح فشرده تخصصی Drought Indices Package (شبکه شاخص‌های خشکسالی) که محاسبات و تحلیل شاخص‌های خشکسالی با حجم گسترده آمار را آسان نمود، قدردانی شود. همچنین از جناب آقای دکتر مهران لشنی‌زند به خاطر ارائه رهنماهای علمی در انجام کاملتر تحقیق، مراتب سپاس و قدردانی به عمل می‌آید.

منابع مورد استفاده

-انصافی مقدم، ط. ۱۳۸۱، بررسی فرآیند بیانی شدن حوضه مرکزی ایران با توجه به معیارهای آب و هوایی، مؤسسه تحقیقات جنگلها و مراعع کشور، تهران، ۲۳۶ صفحه.

-انصافی مقدم، ط. ۱۳۸۵، بررسی و ارزیابی شاخص‌های اقلیمی و تعیین شاخص مناسب پیش‌بینی خشکسالی در حوضه دریاچه‌نمک، مؤسسه تحقیقات جنگلها و مراعع کشور، تهران، ۱۴۵ ص.

-بدري پور، ح. ۱۳۸۲، سازمان جنگلها و مراعع کشور، خشکسالی، تأثیرات آن بر اکوسیستم مرتع و راهکارهای مدیریت و تقلیل اثرهای آن بر مرتع و بهره‌برداران، تهران، دفتر امور مراعع.

-بری ابرقویی، ح. و همکاران، ۱۳۸۵، «شاخص‌های ارزیابی روندوشیت خشکسالی در استان یزد»، <http://www.yazdmet.ir/a1.html>

-پرهمت، ج. ۱۳۷۹، بررسی خشکسالی و ترسایهها، کنفرانس خشکسالی کرمان، اسفند ۱۳۷۹.

-جهانبخش، س. و همکاران، ۱۳۸۵، بررسی اثر خشکسالی در کشاورزی منطقه پارس آباد مغان، اولین همایش بین‌المللی تغییر اقلیم و گیاه‌شناسی درختی در اکوسیستم‌های خزری، ۲۵ و ۲۶ اریبهشت ۱۳۸۷، ساری.

-حجازی زاده، ز. ۱۳۷۹، مدل پیش‌بینی خشکسالی در کرمان، کنفرانس خشکسالی کرمان، اسفندماه ۱۳۷۹.

-حسینیها، ح. ۱۳۷۹، بررسی وضعیت خشکسالی، ۱۳۷۹.

-خداری‌تازان، ب. ۲۰۰۳، مژویت بر خشکسالی، <http://hydnotebooks.blogspot.com>

اگرچه یکی از کوتاه‌ترین مدت‌های دوام خشکسالی (۲ سال) در این حوضه رخ داده است اما ایستگاه‌های آوح، دوشان تپه و کاشان از حیث دوام خشکسالی بیشترین مدت تدوام را با ۵ سال دارند که در این زمینه باید بالا بودن دامنه تغییرات و انحراف معیار داده‌های بارش را دخیل دانست. از نتایج این تحقیق مشخص شد از نظر اقلیمی ایستگاه‌های جنوب حوضه دارای یک دوره خشکسالی ملایم ولی طولانی مدت بوده است در حالی که ایستگاه‌های مرکزی و شرقی حوضه، دوره‌های خشک شدید در طی دوره دراز مدت را پشت سر گذاشته‌اند. نتایج حاصل از تجزیه و تحلیل مقادیر بارش توسط شاخص SPI وجود خشکسالی‌ها را باشد و ضعف و تداوم مختلف در حوضه مورد بررسی نشان داده است.

پهنه‌بندی خشکسالی حوضه دریاچه‌نمک با شاخص SPI و میانیابی آن با روش IDW در محیط GIS و استفاده از بارش سالانه دوره آماری ۴۴ ساله نشان داد که صرف نظر از چند سال شرایط نرمال برای بعضی ایستگاه‌ها، خشکسالی بویژه در مناطق مرکزی و شرقی حوضه با تداوم و شدت همراه بوده است و نقشه گستره خشکسالی‌ها در سالهای مختلف دوره در این تحقیق نشان داد که حوضه دریاچه‌نمک از پتانسیل حساسیت زیادی نسبت به خشکسالی برخوردار می‌باشد.

برنامه‌ریزی صحیح و بهینه منابع آب موجود در کشور، ارائه مدل آماری مستقل و مناسب برای هریک از حوضه‌های آبریز کشور و تلاش برای تدوین متداول‌تری تهیه نقشه‌های بحران خشکسالی کشور از پیشنهادات مقاله حاضر می‌باشد.

سپاسگزاری

در اینجا لازم است از جناب آقای دکتر سعید مرید رئیس محترم گروه آبیاری دانشکده کشاورزی دانشگاه تربیت

- مازندران، اولین همایش بین‌المللی تغییر اقلیم و گیاه‌شناسی درختی در اکو سیستم‌های خزری، ۲۵ و ۲۶ اریبهشت ۱۳۸۷، ساری.
- لشنج زند، م. ۱۳۸۳، بررسی اقلیمی خشکسالی‌های ایران و راهکارهای مقابله با آن (مطالعه موردی شش حوضه واقع در غرب و شمال‌غرب ایران)، گروه جغرافیای دانشگاه اصفهان، اصفهان، ص ۶۲ تا ۶۵.
- مرید، س. و همکاران، ۱۳۸۴، «طراحی سیستم پایش خشکسالی استان تهران»، پژوهشکده مهندسی آب دانشگاه تربیت مدرس و شرکت سهامی مدیریت منابع آب، تهران، ۱۹۵ صفحه.
- مهدوی، م. ۱۳۸۱، هیدرولوژی کاربردی، دانشگاه تهران، تهران، جلد اول.
- نیکپور، ع. ۱۳۸۰ بررسی خشکسالی در چند حوزه آبخیز استان مازندران، سمینار کارشناسی ارشد آبخیزداری، دانشگاه تربیت مدرس، ۱۳۸۰، ۴۲ ص.
- وفاه خواه، م. ۱۳۷۹، شناخت عوامل مؤثر در خشکسالی، کفرانس خشکسالی کرمان، اسفند ۱۳۷۹.
- [ویلاگ مهندسی آبخیزداری](http://abkhiz.blogfa.com/8708.aspx) <http://abkhiz.blogfa.com/8708.aspx>
- Miller, G.T. 1997, Environmental Sciences, Wods Worth Pob, Belment, California.
- Karen arms, 1990, Nvironmental Sciences, Staunders College Pub Florida.
- Oliver.S . Owen & Daniel D. Chiras, 1995, Natural Resouces , Aimon & schuster,publishations Co 1995.
- Thornthwaite, C.W. 1947, Climate & Moisture Conservation Annal So of Assoc Amer, Geogr, 37 (2) : 87-100.
- HAYES, M. 2000, Drought Indices, National Drought Mitigation Center, University of Nebraska, Linclon.
- Liew, V. and Garbrecht, J. 2001, Sensitivity of hydrologic response of an experimental watershed to changes in annual precipitation amounts. ASAE Meeting Paper Number: 01-2001. ASAE, St. Joseph, Michigan.
- MACKEE , DOESKEN, T.B.J. and KLEIST, J. 1993, The Relationship of Drought Ferquency and Duration to time Scales, 8th cang. On Applied Climatology, Anaheim, CA,Amer. Meteoro. Soc. 179., 184.
- MİMKO, 1993, Altınyıldız-Waste Water Treatment Plant Project Design-1993 - 05/1994 MİMKO Const. Co., Besiktas/ Istanbul, TURKEY
- WORLD METEOROLOGICAL ORGANIZATION, 1997, Climate Drought and Desertification, Geneva, Switzerland, No: 869,Page:5.
- خلیقی سیگارودی، ش. و همکاران، ۱۳۸۷، تعیین بهترین روش زمین‌آماری در تهیه نقشه خطوط همباران(مطالعه موردی استان مازندران)، اولین همایش بین‌المللی تغییر اقلیم و گیاه‌شناسی درختی در اکو سیستم‌های خزری، ۲۵ و ۲۶ اریبهشت ۱۳۸۷، ساری.
- خلیلی، ع. و همکاران، ۱۳۸۲، ارزیابی کارآبی چند نمایه خشکسالی هواشناسی در نمونه‌های اقلیمی مختلف ایران، نشریه نیوار، ۴۸ و ۴۹، بهار و تابستان، تهران، ص ۷۹ تا ۹۳.
- دین‌پژوه، ی. ۱۳۷۲، بررسی و پیشینی خشکسالی با توجه به توزیع بارش‌های ماهانه (آذربایجان)، پایان‌نامه کارشناسی ارشد، دانشگاه تبریز.
- سازمان جنگلها، مراتع و آبخیزداری کشور، ۱۳۸۳، برنامه اقدام ملی بیان‌زدایی و کاهش اثرهای خشکسالی جمهوری اسلامی ایران، نشر پونه، تهران، ص ۷.
- سلامجه، ع. ۱۳۷۳، برآوردهای دیبهای پیک سیلانی در حوزه‌های کوچک ایران، پایان‌نامه کارشناسی ارشد، دانشکده منابع طبیعی کرج.
- سیوف، س. ۱۳۸۵، تغییر اقلیم و خشکسالی، دانشگاه هرمزگان www.saeed@cloudysky.ir
- طایی سمیری، م. و همکاران، ۱۳۸۷، شبیه‌سازی و تحلیل ارتباط خشکسالی‌های هیدرولوژیکی و اقلیمی با استفاده از مدل‌های احتمالاتی (مطالعه موردی: جلگه بابل)، اولین همایش بین‌المللی تغییر اقلیم و گیاه‌شناسی درختی در اکو سیستم‌های خزری، ۲۵ و ۲۶ اریبهشت ۱۳۸۷، ساری.
- قاسمپور، ف. ۱۳۷۴، تجزیه و تحلیل منطقه‌ای سیلان در غرب مازندران، پایان‌نامه کارشناسی ارشد، دانشگاه تربیت مدرس، ۱۳۷۴.
- قطره سامانی، س. ۱۳۷۹، بررسی خشکسالی در استان چهارمحال و بختیاری، اسفند ۱۳۷۹.
- کریمی، ب. و همکاران، ۱۳۸۷، مطالعه بارش سالانه استان کرمان و تحلیل خشکسالی به کمک روش‌های زمین‌آماری با استفاده از ARC GIS، اولین همایش بین‌المللی تغییر اقلیم و گیاه‌شناسی درختی در اکو سیستم‌های خزری، ۲۵ و ۲۶ اریبهشت ۱۳۸۷، ساری.
- کلارستاقی، ع. و همکاران، ۱۳۸۷، بررسی تغییرهای زمانی و مکانی شاخص فرسایش فورنیه در حوزه‌های آبخیز مرکزی استان

Climatic Droughts Zoning using Inverse Distance Weighted Method

Ensafi Moghadam, T.^{1*} and Rafiei Emam, A.²

1*-Corresponding Author, Research Instructor of Desert Research Division, Research Institute of Forests and Rangelands, Tehran, Iran.

2- Research Senior Expert of Desert Research Division, Research Institute of Forests and Rangelands, Tehran, Iran.

Received: 15.06.2008

Accepted: 23.06.2009

Abstract

The present study firstly sets out the procedure for the generation of climatic files for localities with climatic records and secondly, The process of obtaining maps of the climatic zones for all of the localities in the Salt Lake Basin of Iran. For the generation of the climatic records such as rainfall periods and intensity, provided by the 34 climatology stations for a total of 44 years data from (1957-2000), was used as a source of information. These data was then subjected to a statistical analysis, using SPI method for the calculation of the frequency, intensity and duration of drought process. Finally for the mapping drought zoning in all localities of the Salt Lake Basin for the long term period, the Inverse Distance Weighted Method(IDW) was used in the Arc view software environment. The results showed that the study area is very sensitive to climatic drought.

Key Words: drought, climatic zoning, SPI index, Inverse Distance Weighted